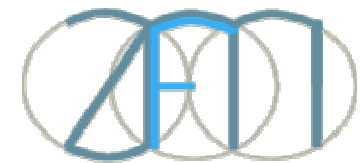


Institut für Physikalische Chemie und Elektrochemie

Chemische Nanomaterialien

Womit trägt die Physikalische Chemie der Uni Hannover zum Gelingen des LNQE bei?

Die vorgestellten Arbeiten wurden
mehrheitlich unter dem Dach des
Zentrums für Festkörperchemie und Neue Materialien
erarbeitet.



Arbeitsgruppen des PCI

Prof. Caro

Nanostrukturierte Wirt/Gast-Systeme und Funktionsschichten

- PD Dr. Wark
- Dr. Oekermann
- Dr. Feldhoff

Prof. Heitjans

Dynamische und kinetische Prozesse an Festkörpern

Prof. Becker

Kleinste Festkörperteilchen und Mikrowellenspektroskopie

- Dr. Grabow

Prof. Imbihl

Dynamische Prozesse an Oberflächen

PD Dr. Michael Wark

Deposition of porous sol-gel layers

Functionalization of porous materials

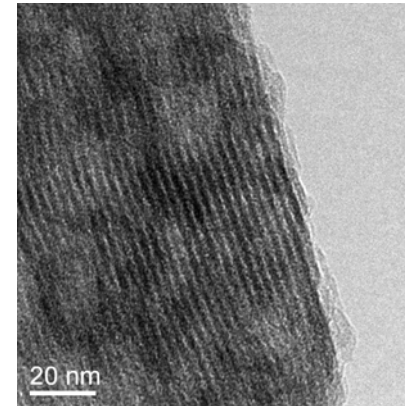
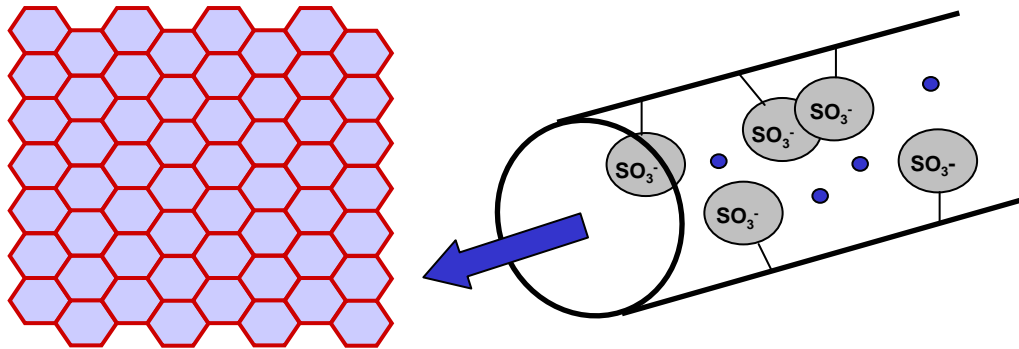
Proton conducting membranes for fuel cells

Inorganic nano-tubes

UV-vis spectroscopy of solids

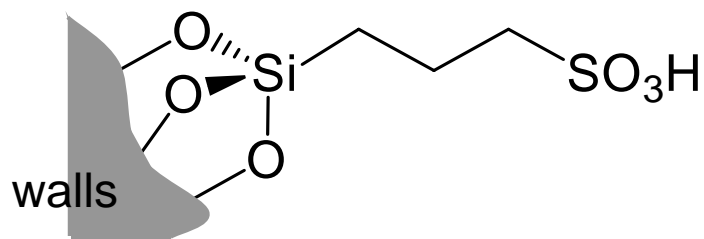
Mesoporous SO_3H -functionalized SiO_2 with $> 1000 \text{ m}^2/\text{g}$

Functionalized mesoporous oxides (SiO_2) for proton conductivity and water storage (\Rightarrow additives for PEM fuel cell membranes)

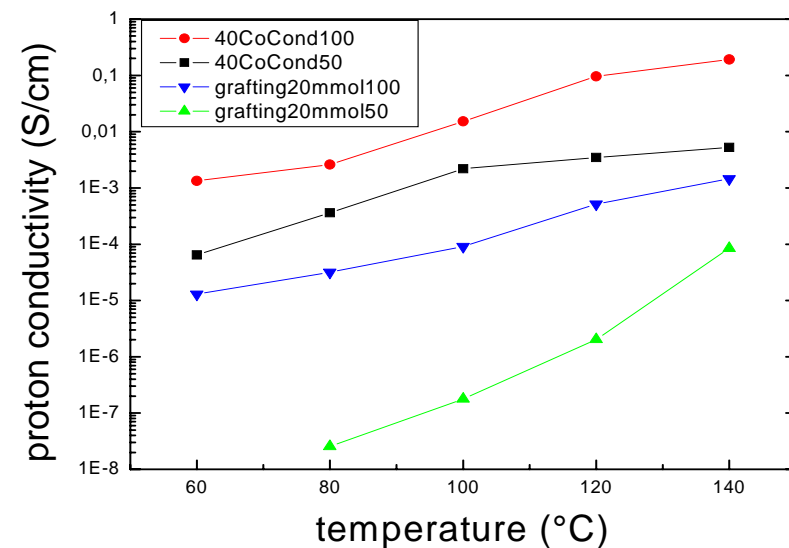


Two methods for loading:

1. postsynthetic grafting with thiol-silane and oxidation.
2. Co-condensation: addition of thiol-silane direct to synthesis gel for mesop. SiO_2 , oxidation simultaneously to template removal.



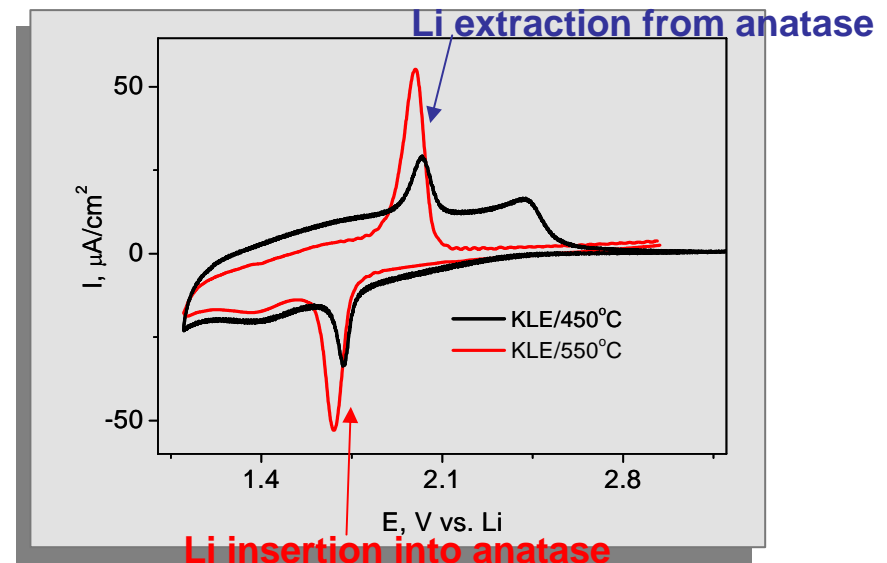
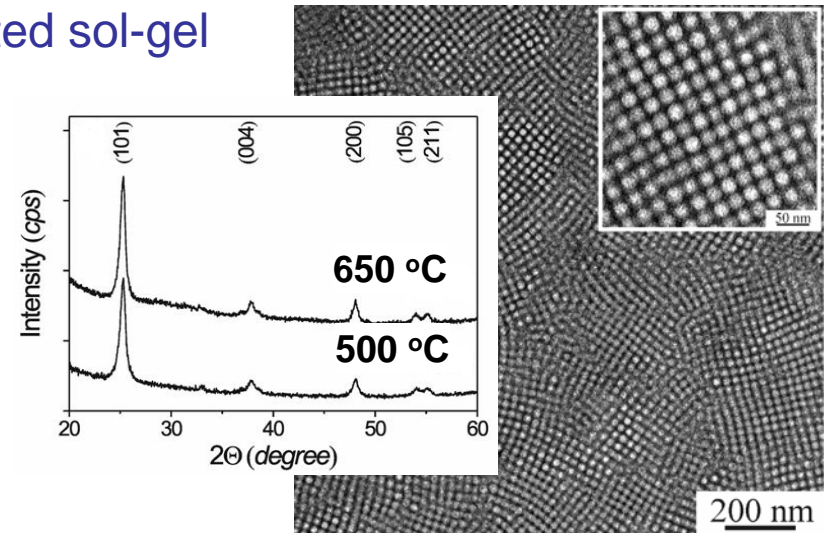
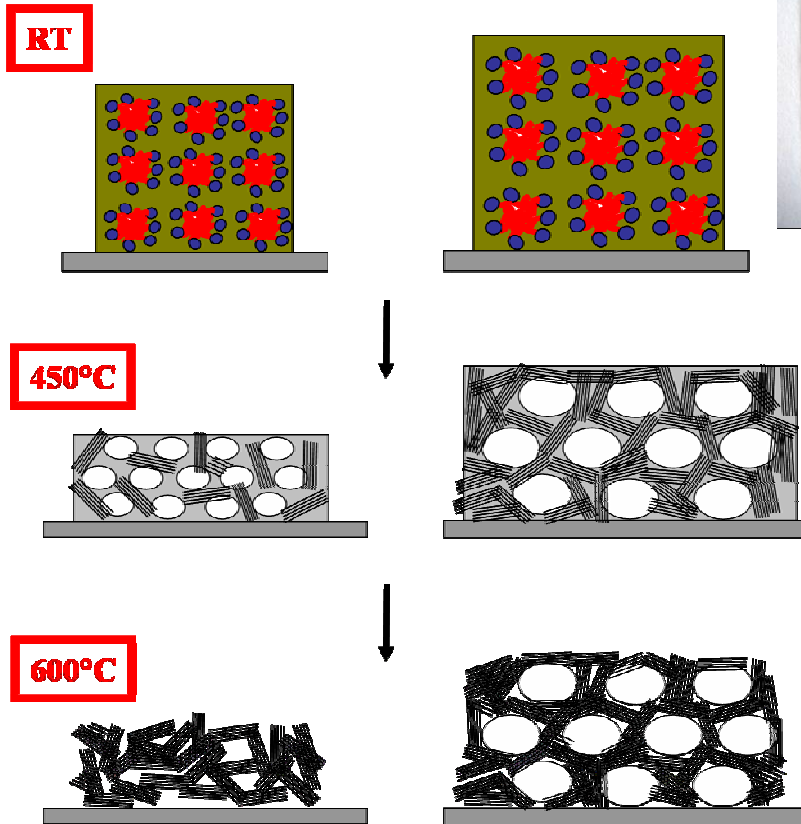
Loading and, thus proton conductivity higher for samples formed by co-condensation



Mesoporous TiO₂ films with highly crystalline walls

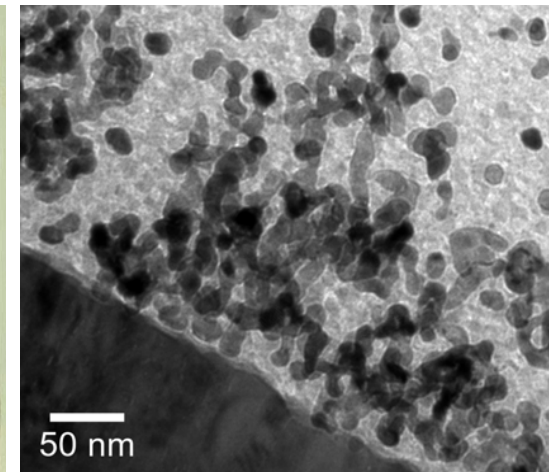
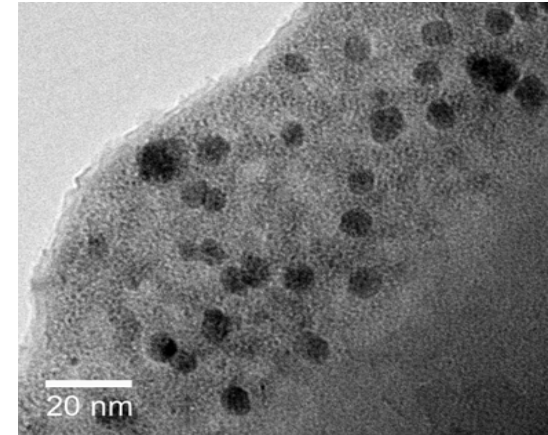
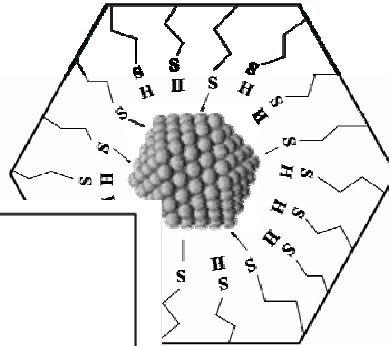
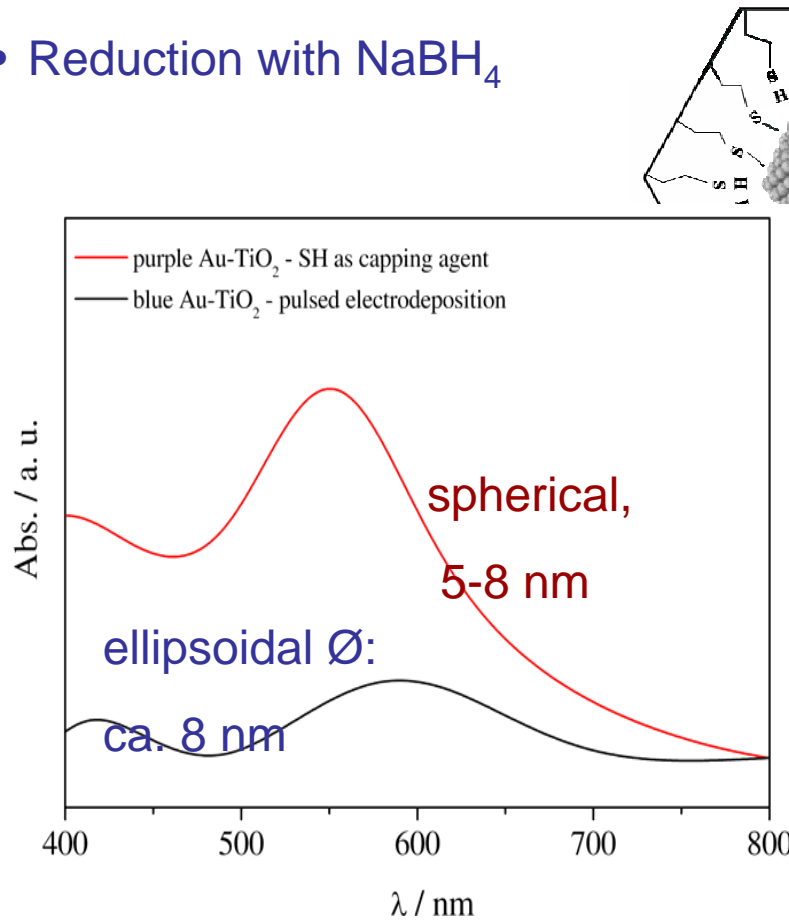
Mesoporous TiO₂ films, made by template-assisted sol-gel chemistry, dip-coating (EISA process)

earlier films (template: Pluronic) new films (template: KLE)



Au nanostructures in mesop. TiO₂ films – plasmon resonance

- Anchoring of Au³⁺ ions on thiol groups
- Reduction with NaBH₄



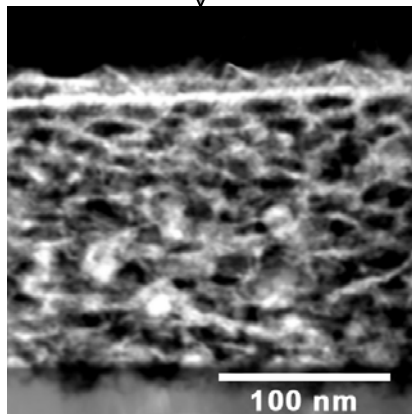
- Pulsed electrochemical deposition; starting with very short, negative potential pulse
- \Rightarrow generation of worm-like Au structures possible.

Mesoporous conductive indium-tin-oxide (ITO)

Sol-gel precursor

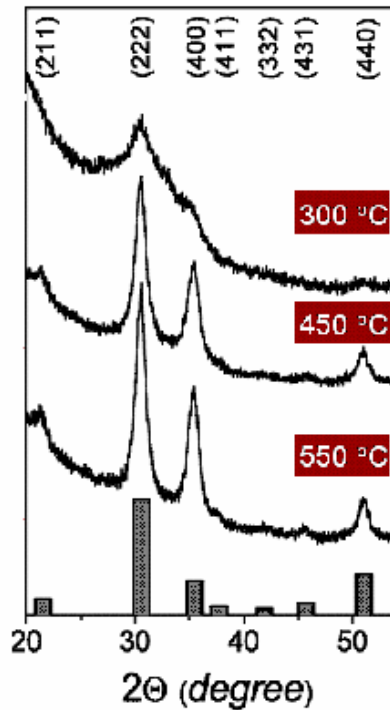
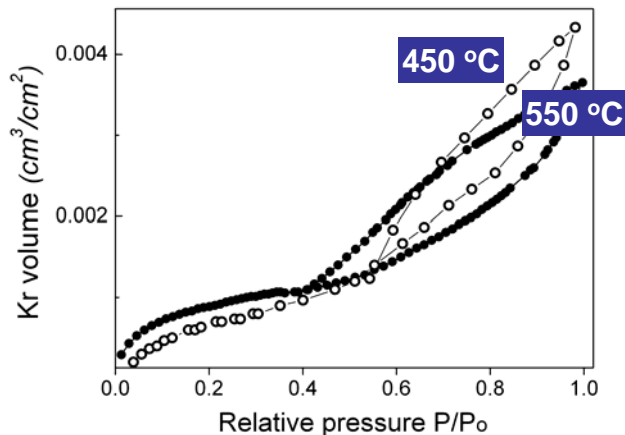
- In source: In(III) acetylacetonate (0.6 g)
- Sn source: Sn(IV) chloride (0.038 g)
- Template: KLE (0.085 g)

EISA process - Dip-coating - relative humidity 18-20 %



high porosity, but also high crystallinity of walls
 ⇒ good electrical conductivity

Kr adsorption at 77 K



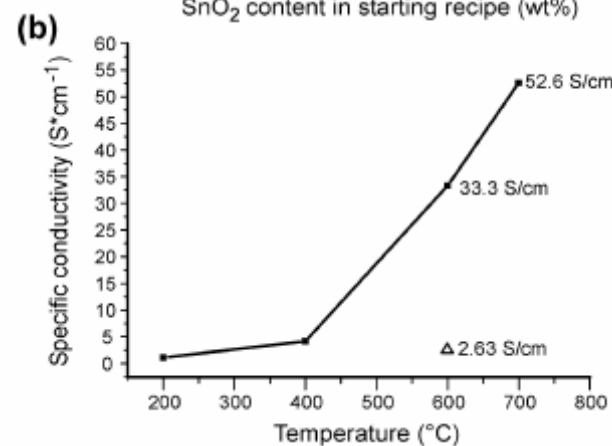
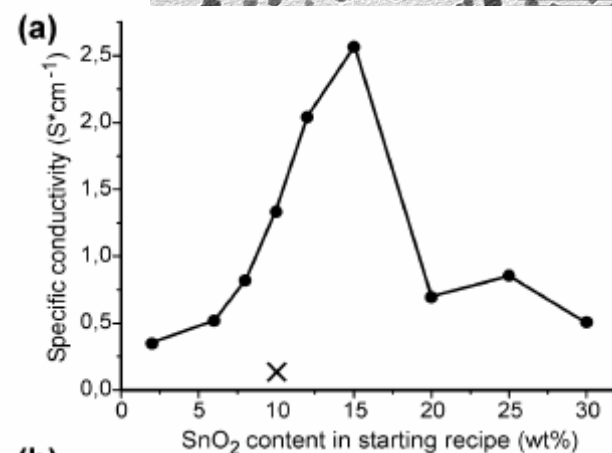
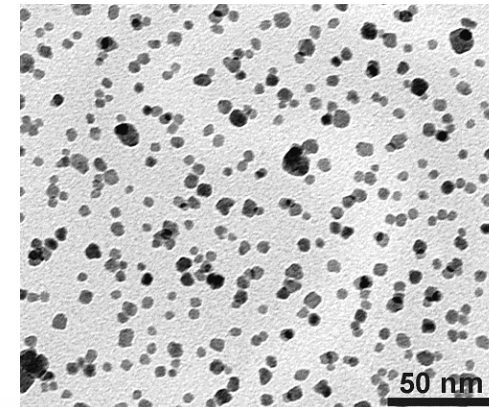
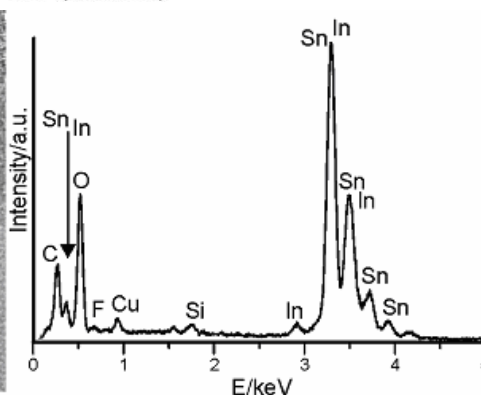
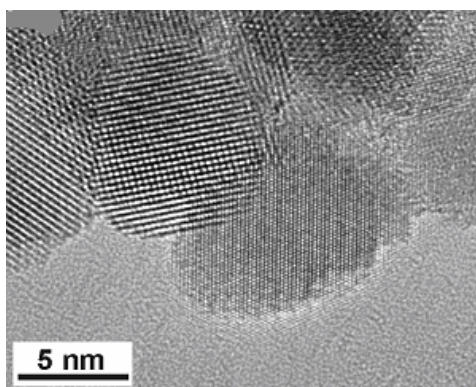
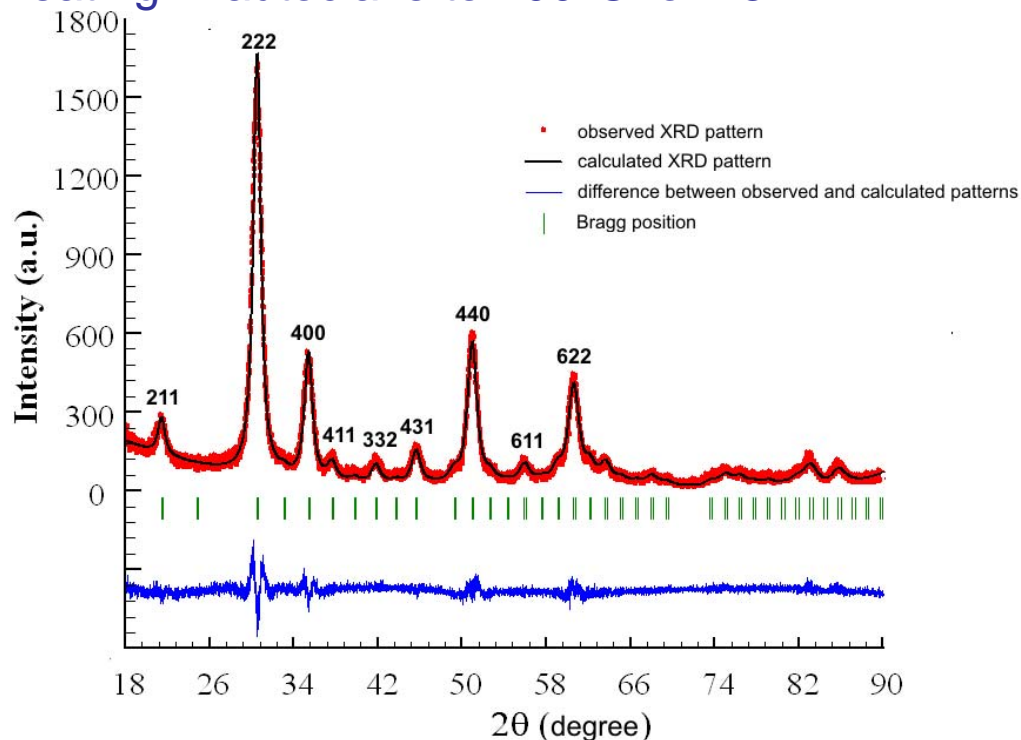
Sheet resistance Ω	Specific resistivity $\Omega \text{ cm}$
Non-conductive	
$3 \cdot 10^5$	5
$1 \cdot 10^4 \text{ (N}_2\text{)}$	0.15
$1.3 \cdot 10^3 \text{ (H}_2\text{)}$	0.02

application:

new type of solar cells, electrochromism, electroluminescence,

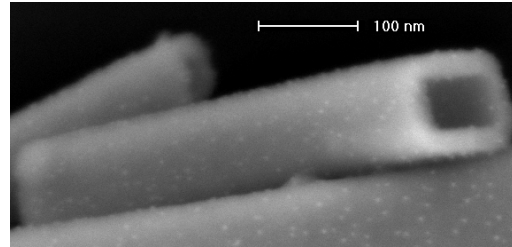
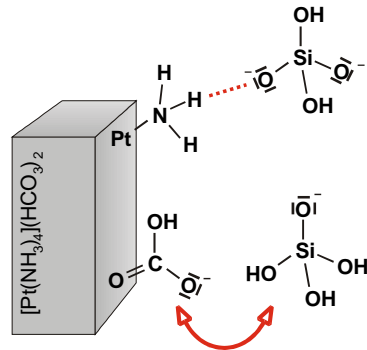
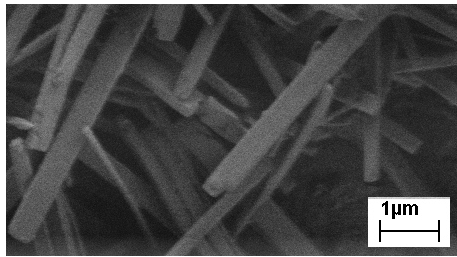
Well-crystalline ITO nanoparticles

Non-aqueous synthesis of ITO nanoparticles from $\text{In}(\text{acac})_3$ and $\text{Sn}(\text{OtBu})_4$, heating in autoclave to 200°C for 48 h.



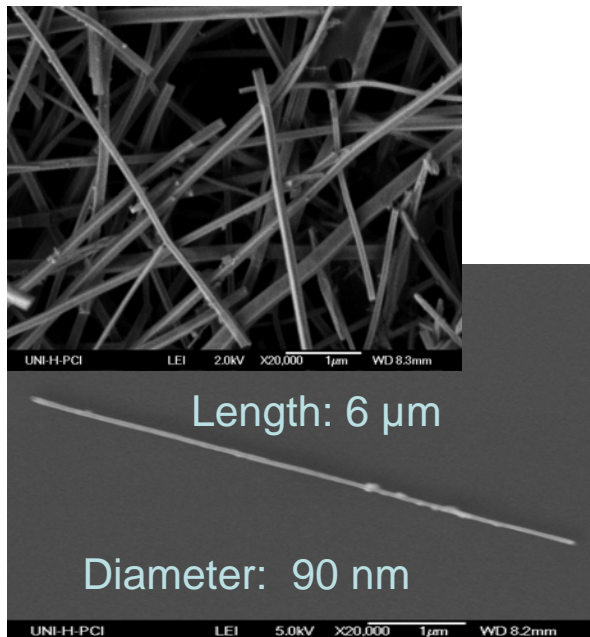
I. Ba, M. Niederberger, M. Wark, A. Feldhoff, et al. Chem. Mater. 18 (2006), 2848.

Controlled growth of metal containing oxide nanotubes (NTs)

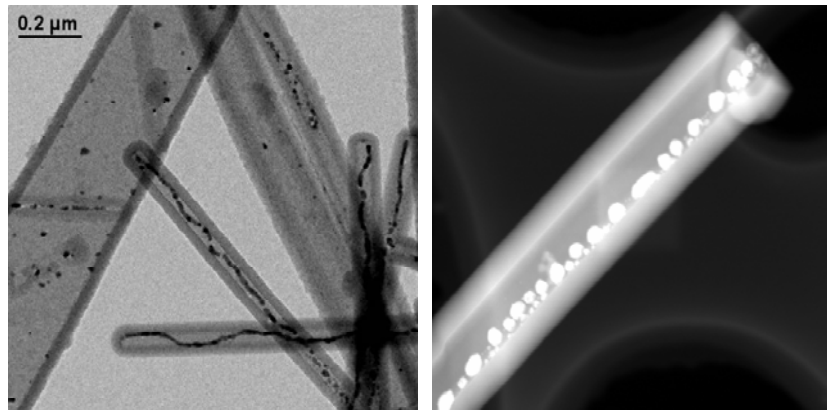


In a sol-gel process precipitated metal salt nanofibres work as templates to form NTs

Uniform SiO₂ or TiO₂ NTs with high aspect ratios



By reduction of the template salt, metal nanowires (but contacting of NTs difficult) or chains of nanoparticles (Co: interesting magnetic properties) form in the NTs.



[Co(NH₃)₆](HCO₃)(CO₃)·2H₂O aqueous solution

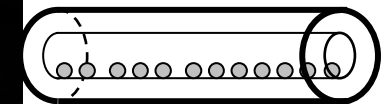
↓ (1)



↓ (2)



↓ (3)

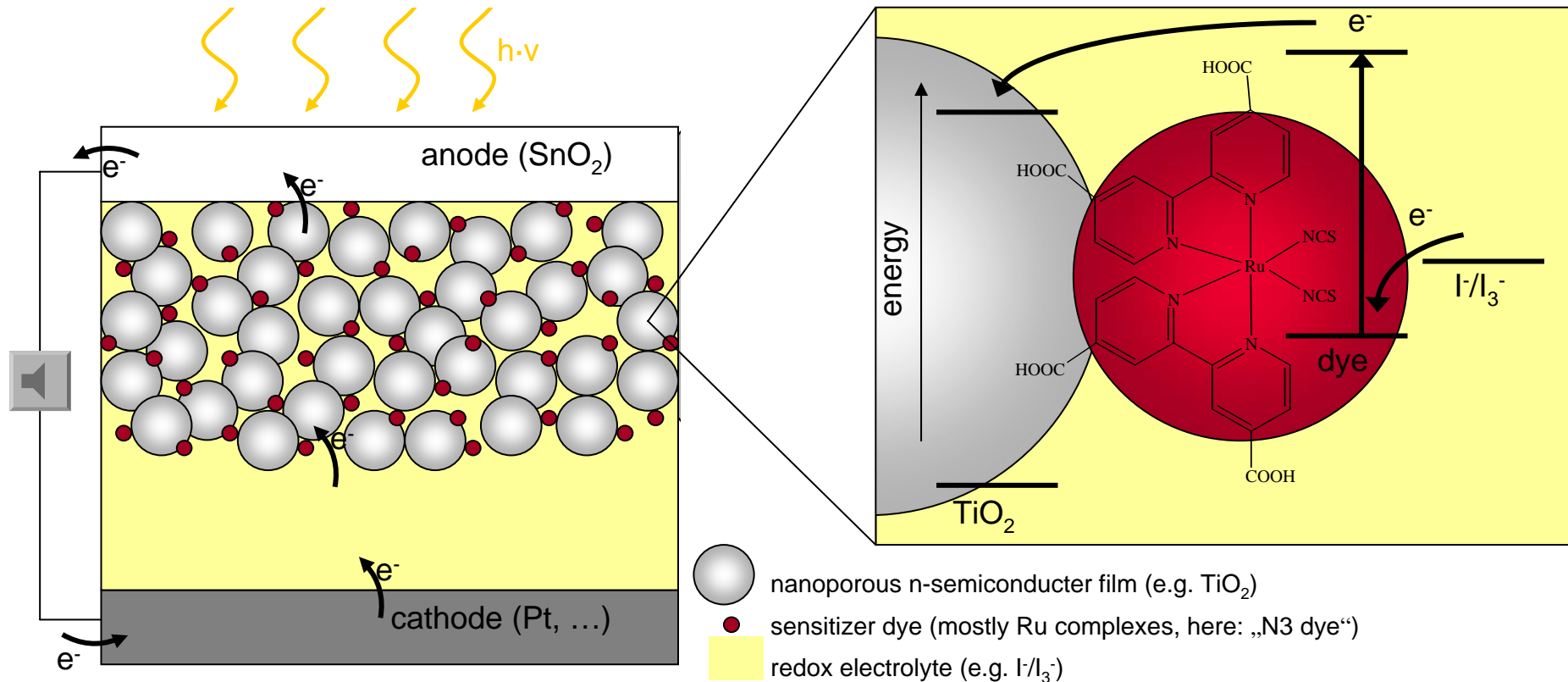


L. Ren, M. Wark, Chem. Mater. 17 (2005), 5928.

Dr. Torsten Oekermann

- (Photo-)Electrochemistry
- Impedance spectroscopy
- Time- and frequency-resolved photoelectrochemical methods
- Electrochemical deposition of porous layers
- Dye sensitized solar cells

Alternative for silicon solar cells: Dye sensitized solar cell (DSSC)



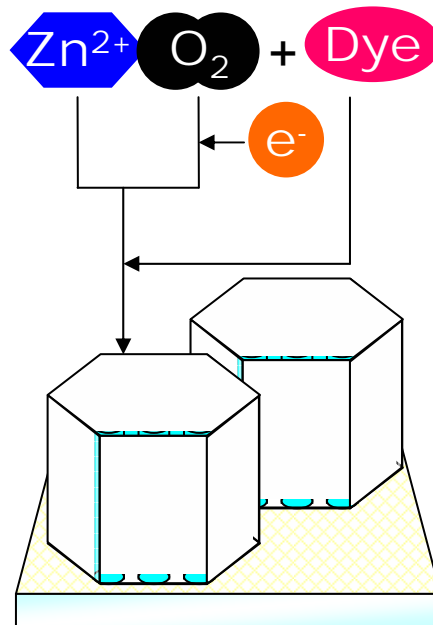
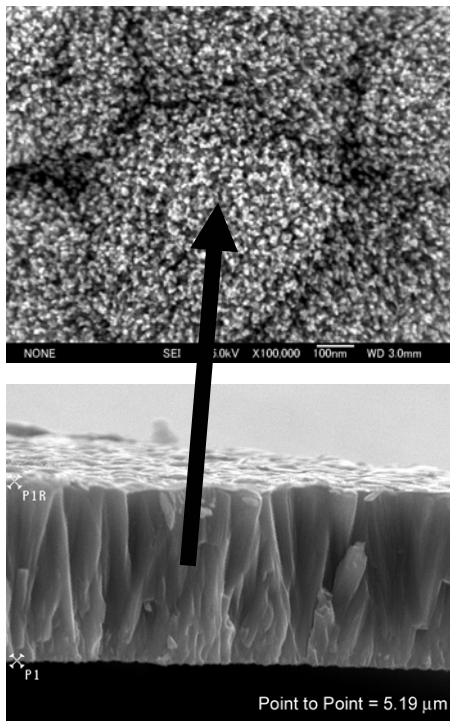
Preparation of porous semiconductor films for DSSC by

- colloid-processing from nanoparticles
- electrophoretic deposition of nanoparticles
- sol-gel methods (collaboration with M. Wark)

Oekermann, Wessels

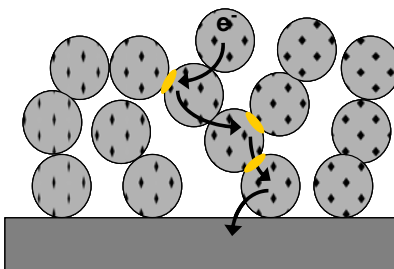
Novel method: Electrochemical preparation of porous semiconductor films for DSSC

- Crystalline ZnO layer is formed by cathodic electrodeposition at $T > 65\text{ }^{\circ}\text{C}$
- Dye molecules in the electrodeposition bath adsorb to the growing film and are incorporated



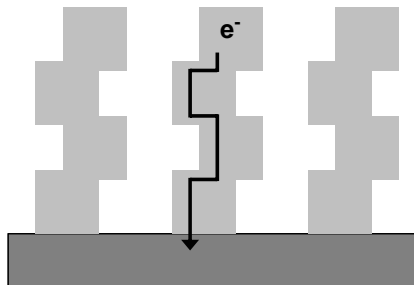
Colloid-processed film made from nanoparticles
→ slow electron transport

Nanocrystalline film



Electrodeposited film „porous single crystal“
→ fast electron transport

Nanoporous film



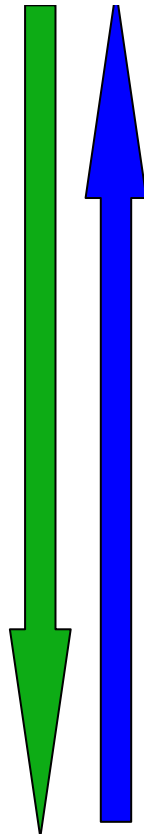
Benchmarking: Comparison of the efficiency of three types of solar cells under realistic conditions

Si single-crystal solar cell:
25 %

Dye-sensitized solar cell
(à la Grätzel)
11,5 %

Dye-sensitized solar cell with
electrodeposition of ZnO
(à la Oekermann, Hannover,
and Yoshida, Gifu, Japan)
6 % ⇒ **World record for
low-T prepared DSSC**

efficiency



costs

Sliding roof of the
AUDI car = Si single
crystal solar cell

Commercial DSSC
of the company
Great Cell



Testing facility on the institut's roof:
Cells in vertical and horizontal orientation

Oekermann, Marschall

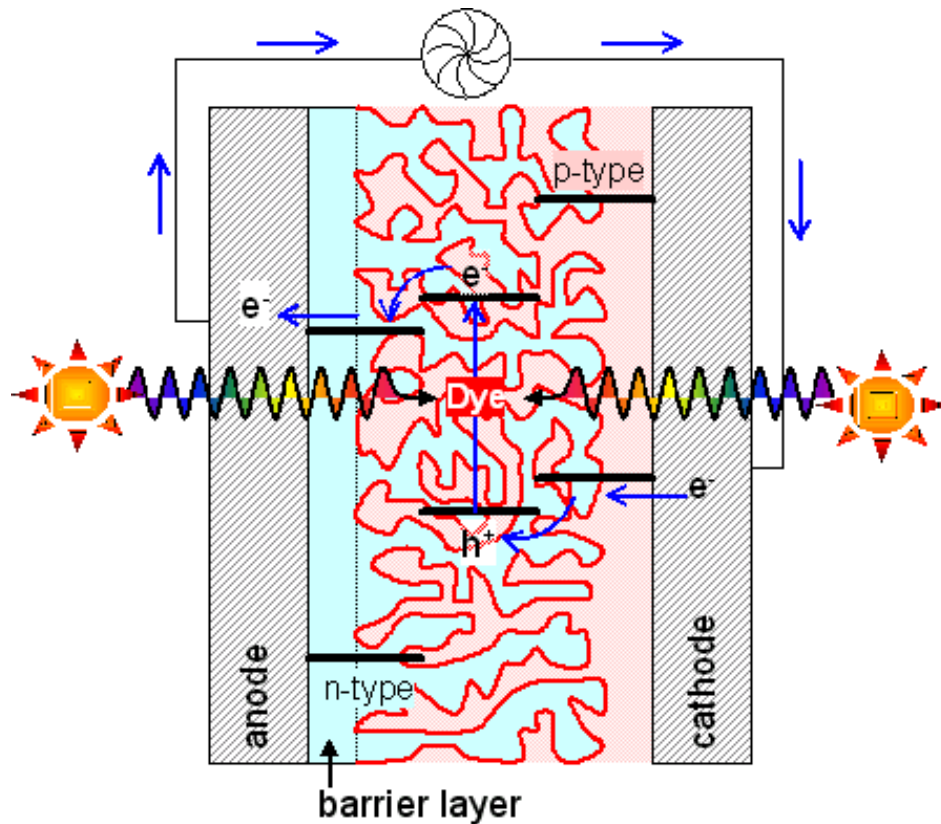


Aus Liebe zum Automobil

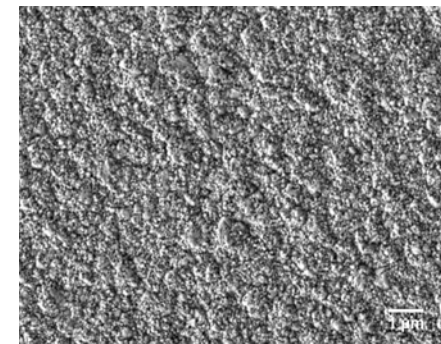
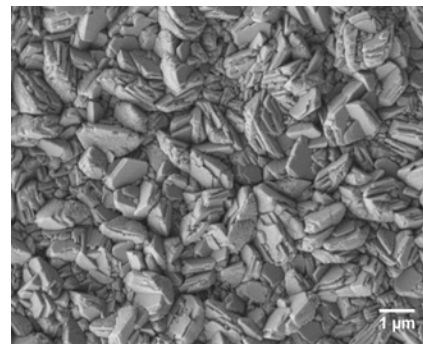
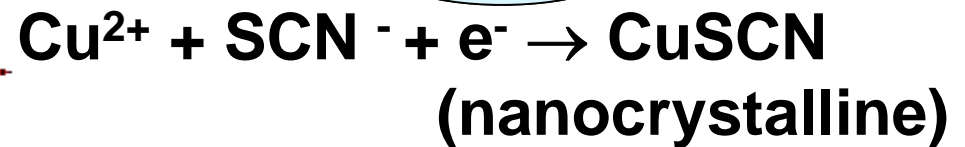
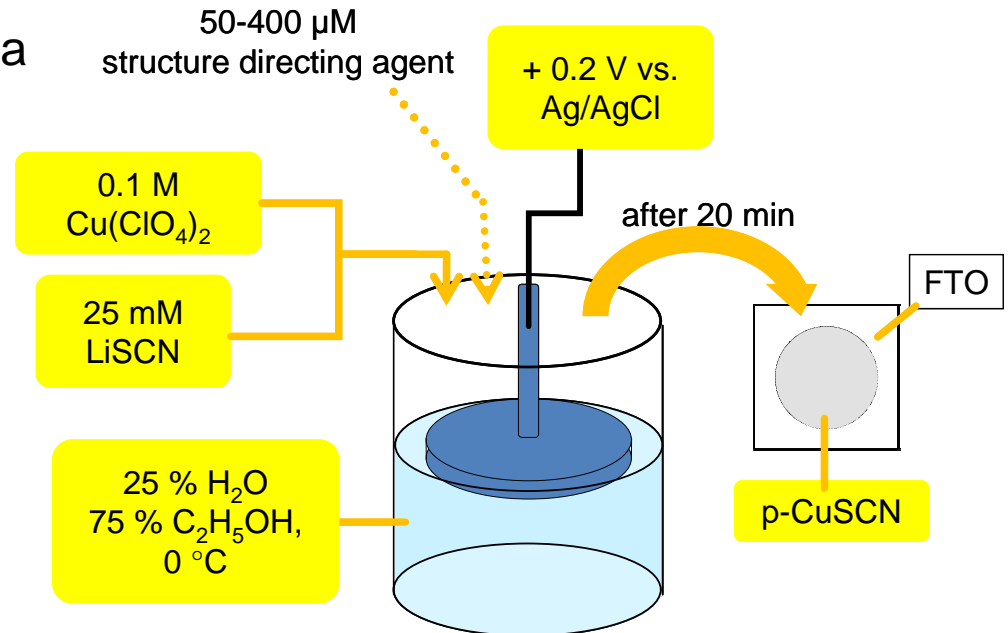


Novel concept: Dye-sensitized p-n- solar cells

Replacement of the liquid electrolyte by a solid p-type semiconductor
 → Improved long-term stability
 A promising material is p-CuSCN



Oekermann, Selk



SEM images of CuSCN films deposited with and without cetyltrimethylammonium bromide

Dr. Armin Feldhoff

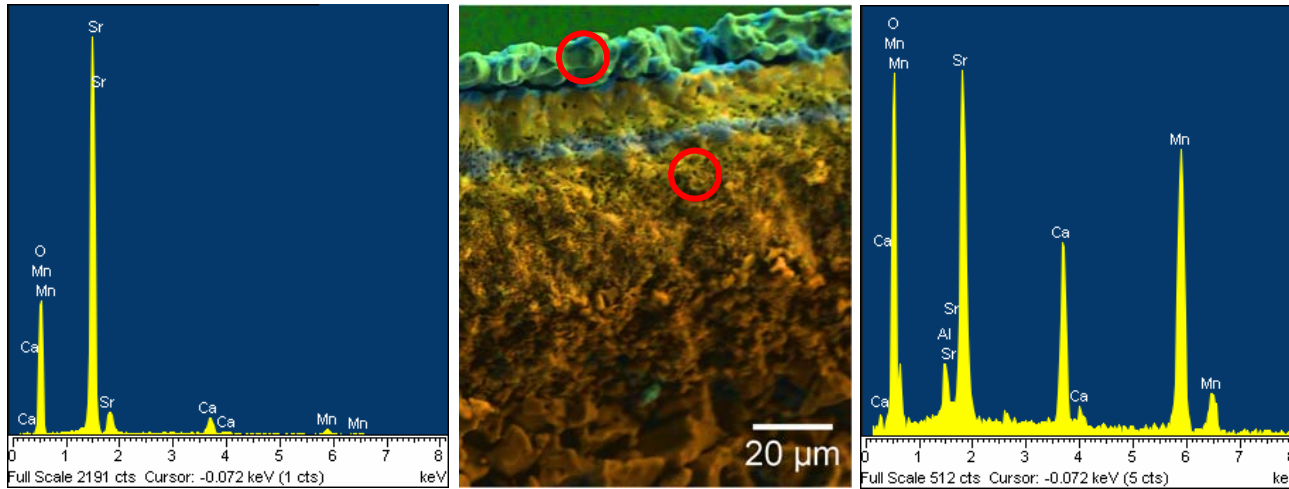
Elektron microscopy: SEM, TEM

Micro structure analysis

In situ XRD (under gas atmosphere up to 1200 °C)

- Sekundärelektronendetektor
- Semi-in-lens-Detektor für kleine Arbeitsabstände
- Rückstreuелеktronendetektor (BSE)
- Energiedispersives Röntgenspektrometer (EDXS),
Oxford Instruments INCA 300, Detektion ab Be (Z = 4)

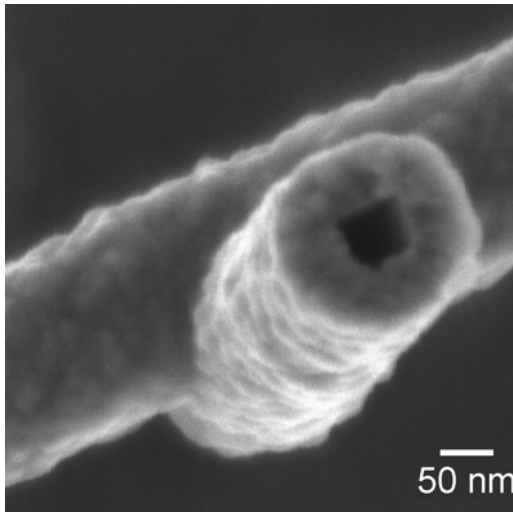
Auflösungsvermögen:
1,0 nm @ 15kV
2,2 nm @ 1kV
Beschleunigungsspannung:
0,5 - 30 kV



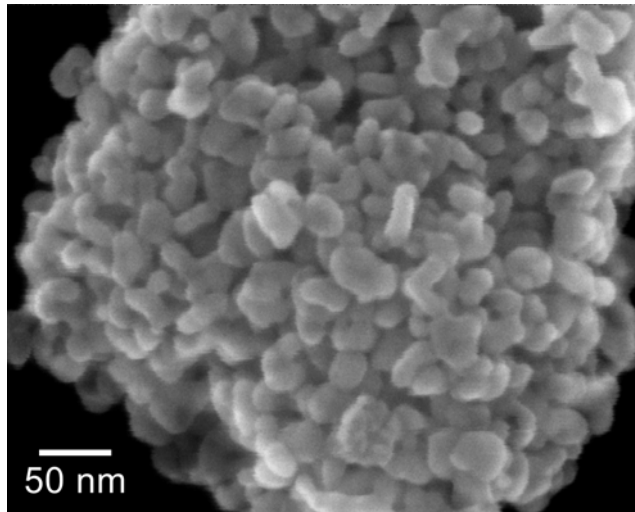
Bruchspiegel eines Perowskitrohrs (Membran zur Sauerstoffabtrennung)

Feldemissions-Rasterelektronenmikroskop (FE-REM)

JEOL JSM-6700F



Gekreuzte TiO₂-Hohlfasern



Katalysatorträger aus TiO₂ (Anatas)



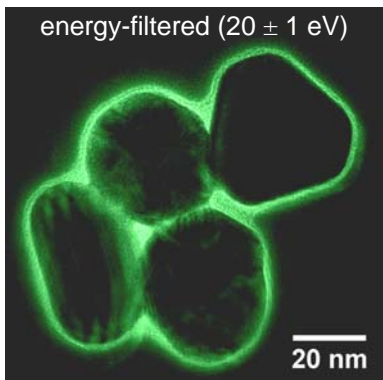
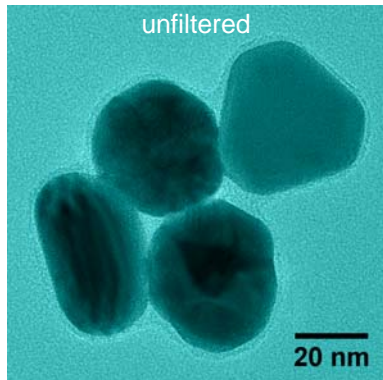
- Transmissionselektronenmikroskopie (BF, DF, HRTEM)
- Raster-Transmissionselektronenmikroskopie (STEM mit BF, HAADF)
- Elektronenbeugung (SAED, CBED, auch energiegefiltert)
- Energiegefilterte Transmissionselektronenmikroskopie (EFTEM)

- Elektronen-Energieverlust-Spektroskopie (EELS, ELNES),
Gatan Imaging Filter, GIF 2001, mit 1k-CCD-Kamera
- Energiedispersive Röntgenspektroskopie (EDXS),
Oxford Instruments INCA 200, Detektion ab Be (Z = 4)

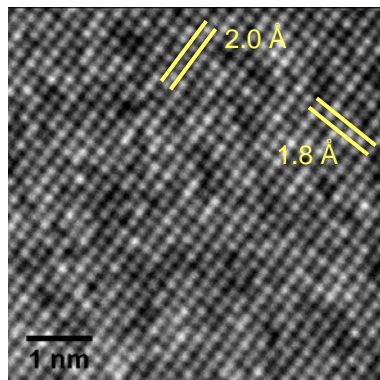
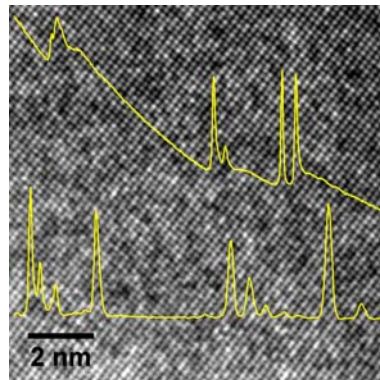
- Schottky-Feldemitter (ZrO/W(100))
- Beschleunigungsspannung: 200 kV (160 kV)
- Punktauflösung: $\leq 0,19$ nm ($C_s = 0,5$ mm)
- Gitterauflösung für STEM: $\leq 0,2$ nm
- Energieauflösung für EELS: $\leq 0,7$ eV

Feldemissions- Transmissions- elektronenmikroskop (FE-TEM)

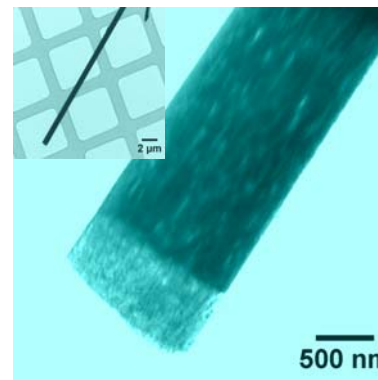
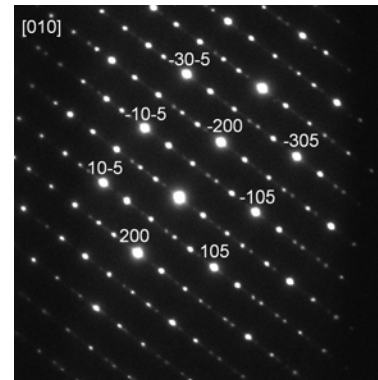
JEOL JEM-2100F-UHR



Goldteilchen, oberflächen-
funktionalisiert mit Proteinfilm



Perowskit entlang [012]
($\text{Ba}_{0.5}\text{Sr}_{0.5}\text{Fe}_{0.8}\text{Zn}_{0.2}\text{O}_{3-\delta}$)

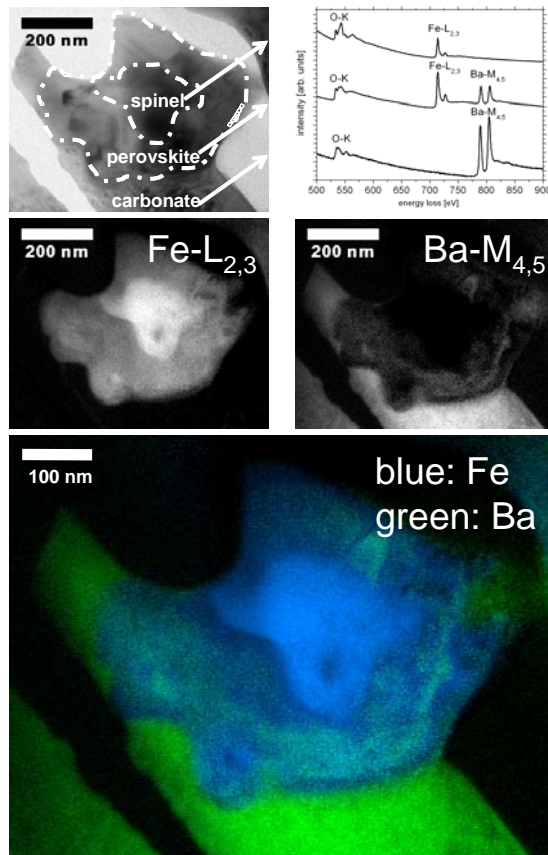


TiO_{2-x}-Stäbchen (Anatas)
mit planaren Defekten

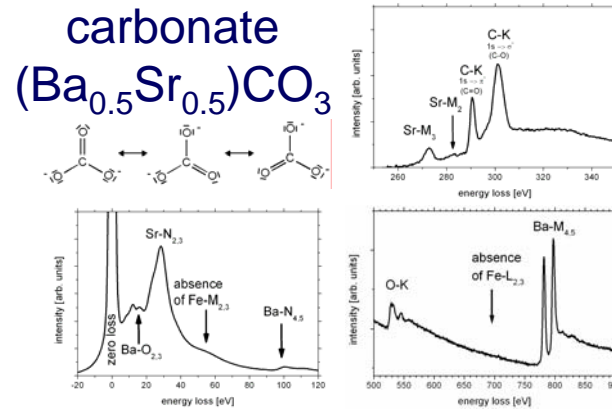


The sol-gel synthesis of perovskites involves nanoscale solid state reactions.

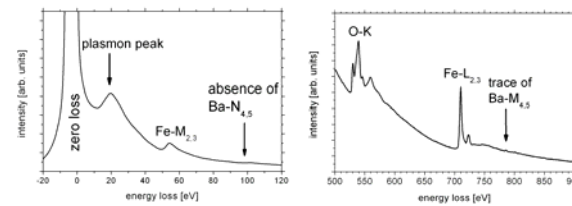
J. Martynczuk, M. Arnold,
H. Wang, J. Caro, A. Feldhoff,
Adv. Mater. (2007)



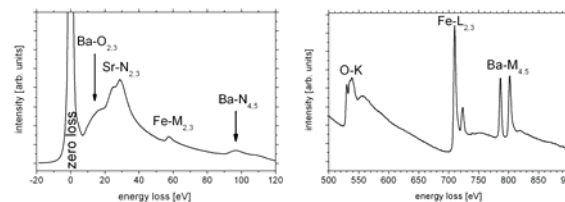
energy-filtered TEM



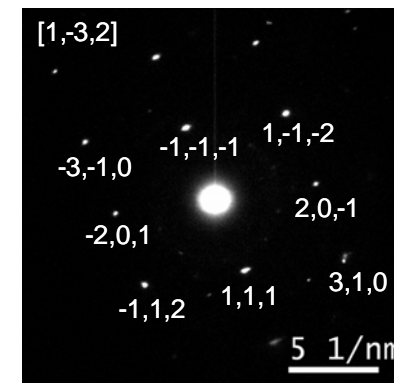
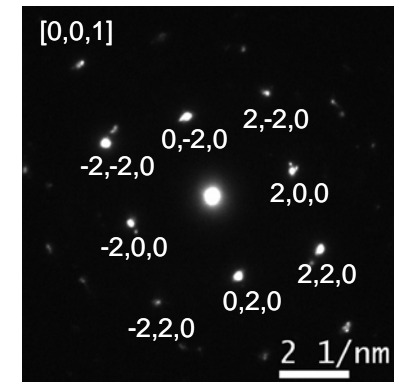
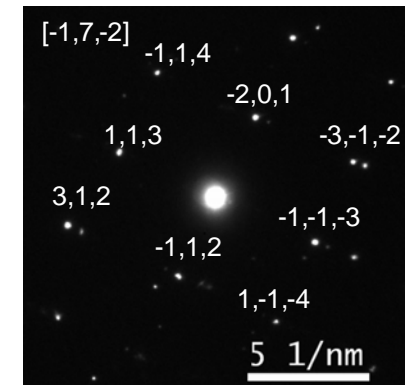
+ spinel
(Zn_{0.6}Fe_{0.4})Fe₂O₄



= perovskite
(Ba_{0.5}Sr_{0.5})(Fe_{0.8}Zn_{0.2})O₃



electron energy-loss spectroscopy



electron diffraction

Arbeitsgruppen des PCI

Prof. Caro

Nanostrukturierte Wirt/Gast-
Systeme und Funktionsschichten

- PD Dr. Wark
- Dr. Oekermann
- Dr. Feldhoff

Prof. Heitjans

Dynamische und kinetische
Prozesse an Festkörpern

Prof. Becker

Kleinste Festkörperteilchen und
Mikrowellenspektroskopie

- Dr. Grabow

Prof. Imbihl

Dynamische Prozesse
an Oberflächen

AK Becker, Lehrgebiet A

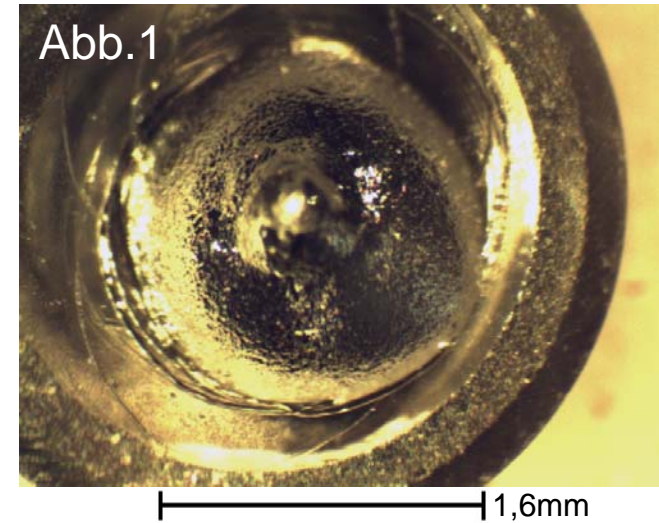
Beeinflussung der Kristallisation
von Halbleitern und Metallen
durch dispergierte Nanopartikel

z.B. Silizium und Nanopartikel z.B. Si_3N_4

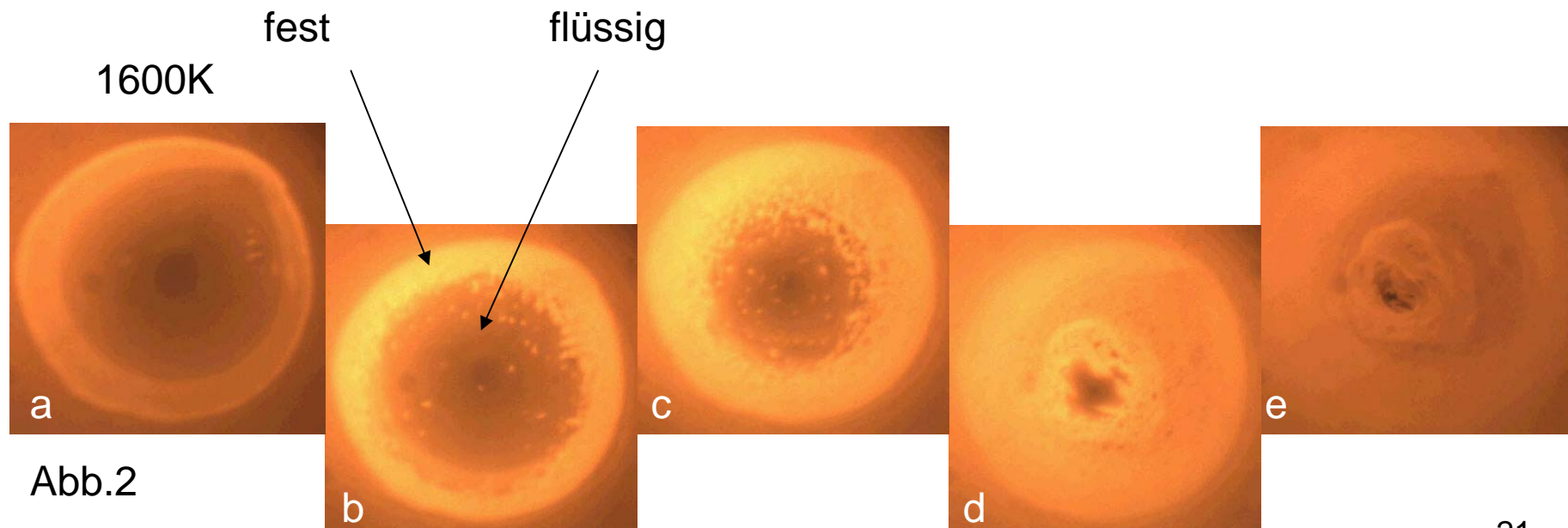
Optische und NIR-Mikroskopie im Hochvakuum

Homogene Keimbildung

- reines Silizium ($T_{\text{schmelz}}=1687\text{K}$)
- Unterkühlung bis $>100\text{K}$ möglich
- Einsetzen von homogener Keimbildung (Abb.2a-e)
- Schnelle Kristallisation (~ 1 sek)

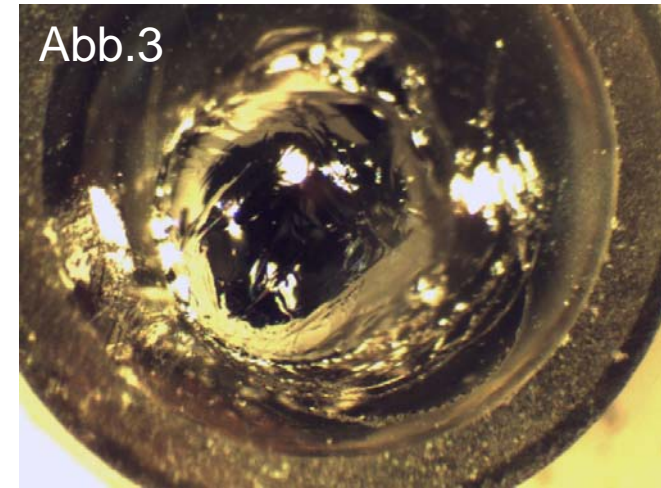


Entstehung eines polykristallinen Probenkörpers mit rauer Oberfläche (Abb.1)

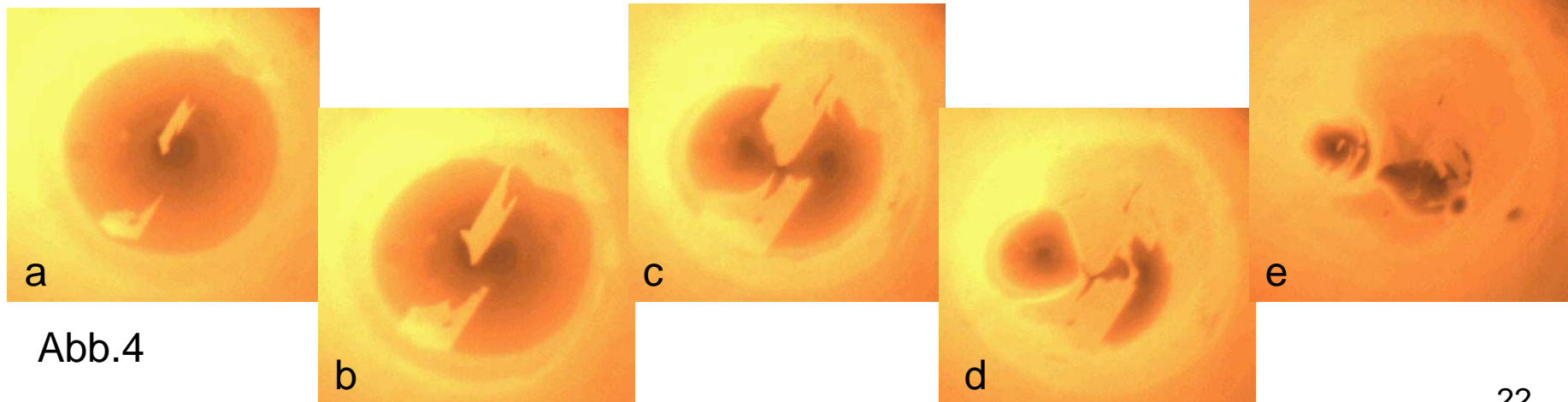


Heterogene Keimbildung

- Silizium mit Nanopartikeln $\langle D \rangle = 400\text{nm}$
- geringe bis keine Unterkühlung möglich ($<1\text{K}$)
- Kristallisation ausgehend von heterogenen Keimen (Abb.4a-e)
- langsamere Kristallisation ($\sim 4\text{-}10\text{ sek}$)



Probenkörper mit erkennbaren Kristalliten und glatter Oberfläche (Abb.3)



Dr. Jens-Uwe Grabow

- Überschallstrahl-Rotationspektroskopie:

Fourier Transform Microwave (FT-MW) Spectrometer

Experimentelle (Instrument) und Theoretische (QM) Entwicklungen

Produktion/Charakterisierung von größeren/instabilen Spezies:

- Geometrische Struktur:** Trägheitsmomente
(isotopologe Verschiebung → Koordinaten)
- Interne Dynamik:** Drehimpulskopplung
(Feinstruktur → Potentialbarrieren, Achsenlage,
mehrdimensionale Tunnelpfade)
- Elektronische Struktur:** Kernspinkopplung
(Hyperfeinstruktur → molekulare Feldgradienten),
Stark-Effekt
(externes elektrisches Feld → Dipolmoment)

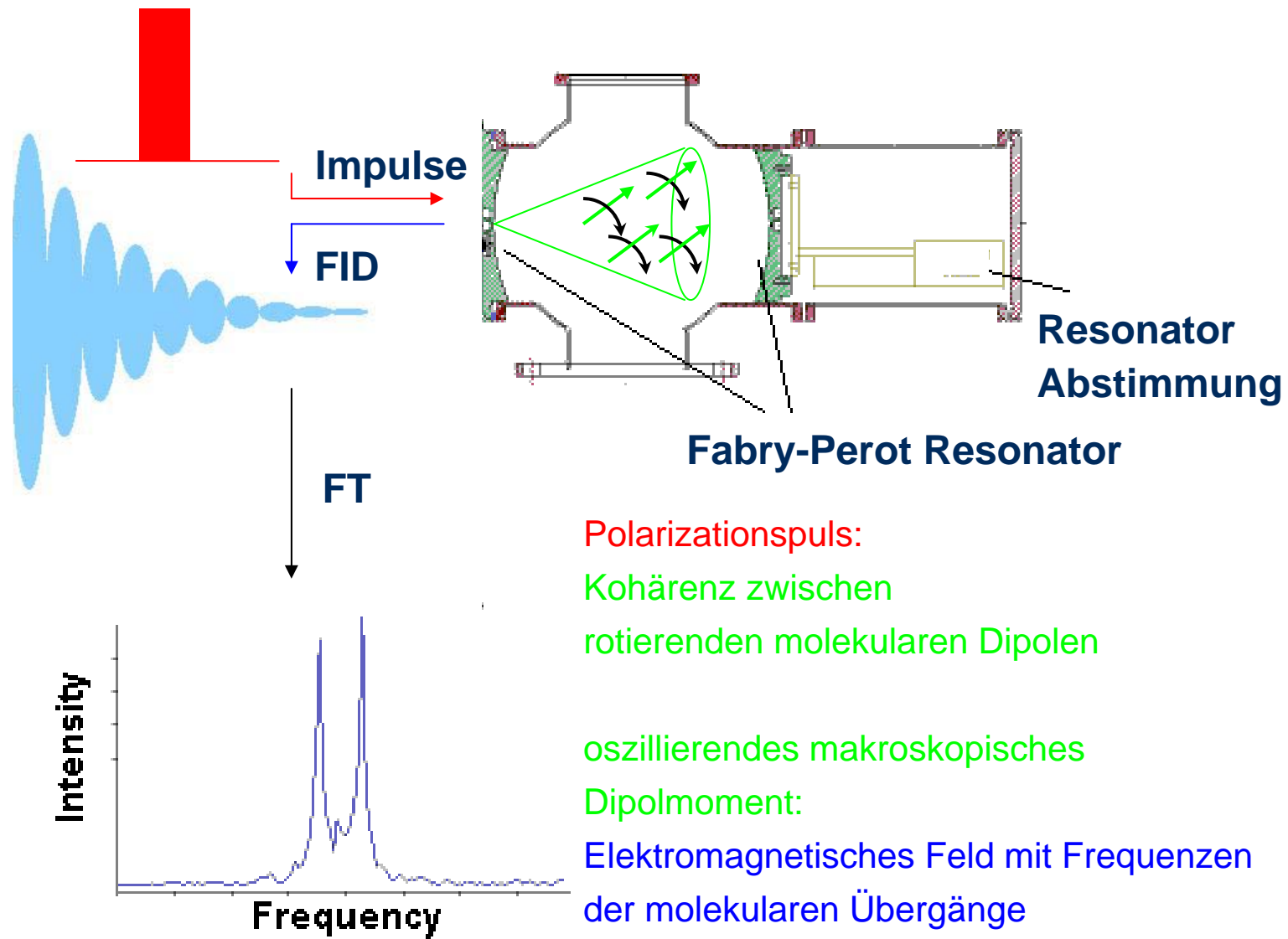
- Hochdurchsatz-Experimente:

Scanning Probe Microwave (SP-MW) Microscope:

Experimentelle (Instrument) Entwicklungen:

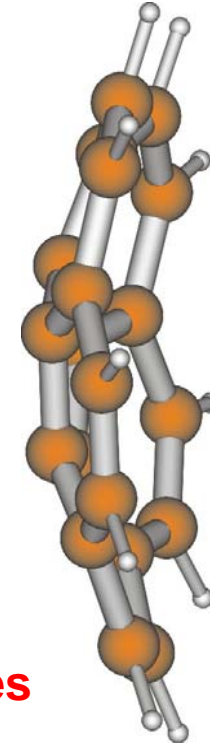
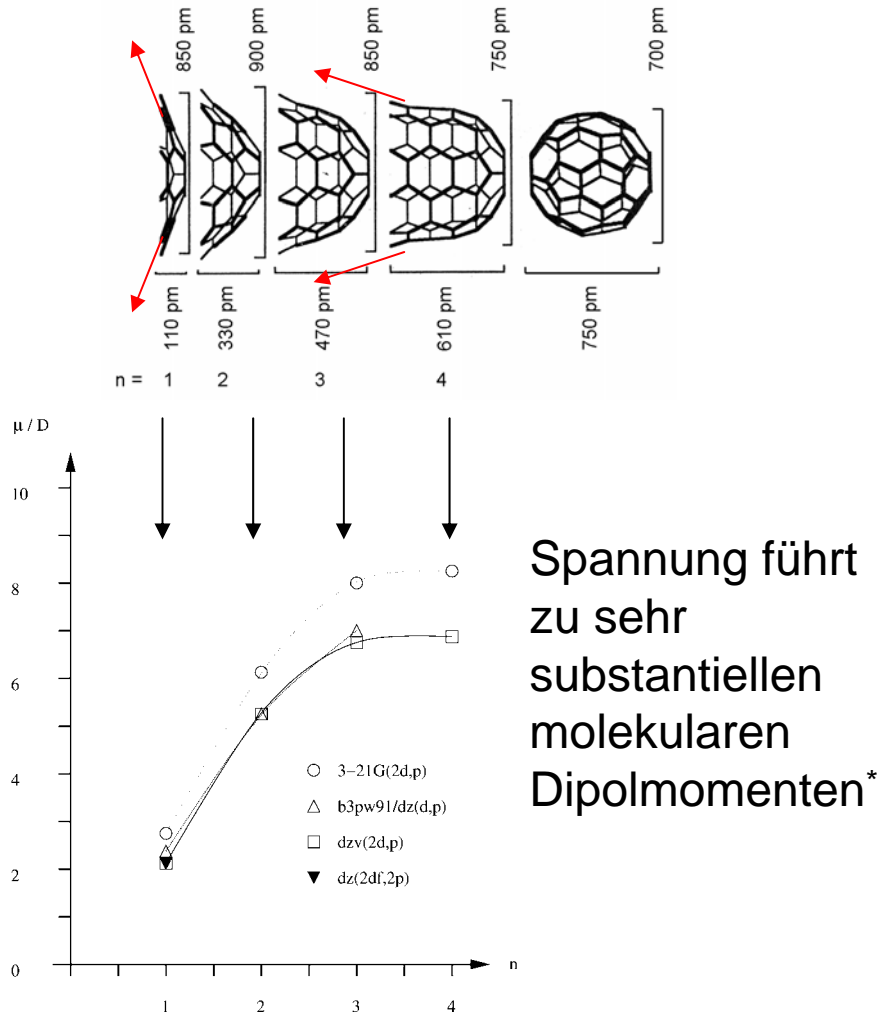
Schnelle Charakterisierung der Eigenschaften dielektrischer Materialien

Molekularstrahl-Mikrowellen-Kohärenzspektroskopie



Dipolmoment von Corannulen

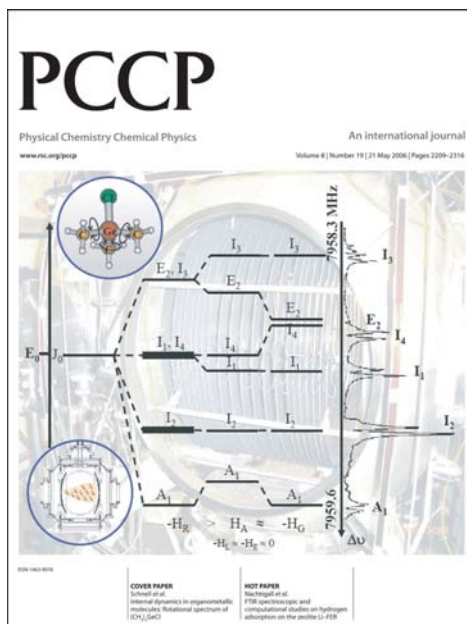
Dipolmomente von $C_{10(n+1)}H_{10}$



**Experimentelles
Dipolmoment
(über Rotations-Stark-Effekt) :**
 $\mu = 2.071(18) \text{ D}$
 $(= 6.908(60) \cdot 10^{-30} \text{ Cm})$
**Größtes bekanntes
Dipolmoment eines
reinen, neutralen KW**

*K.K. Baldridge, J.S. Siegel, *Theor. Chem. Acc.* **97**, 67-71 (1997).

Mehrdimensionale Tunnelpfade



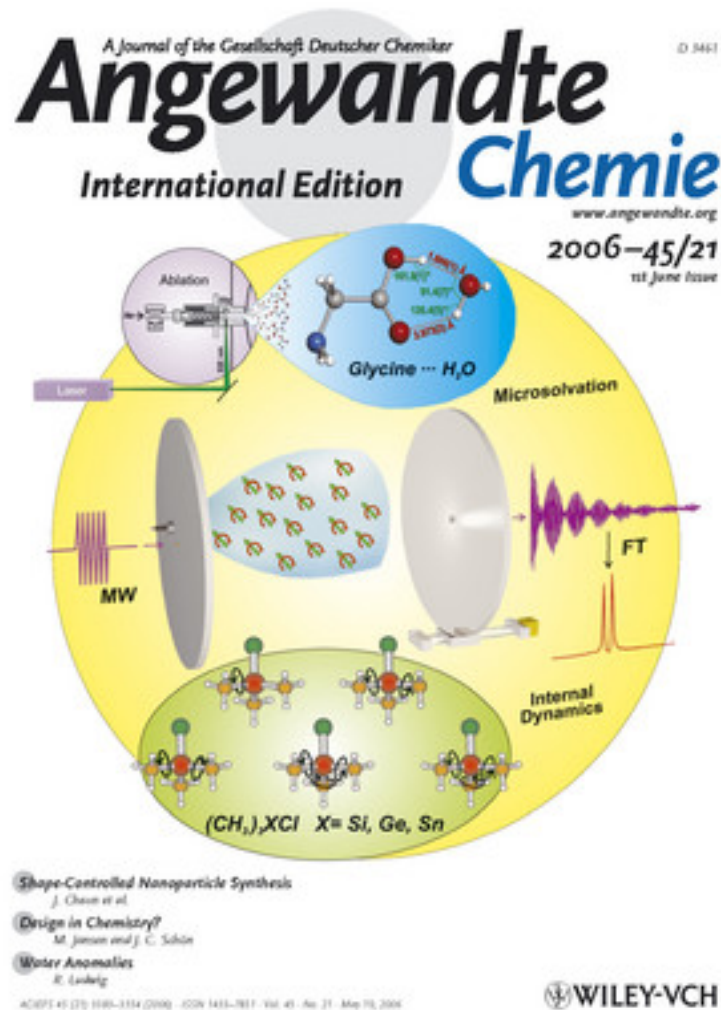
M. Schnell, J.-U. Grabow, *Phys.Chem.Chem.Phys.* **8**, 2225(2006).

Molecular Dynamics

**Multidimensional Large-Amplitude Motion:
Revealing Concurrent Tunneling Pathways In
Molecules With Several Internal Rotors****

*Melanie Schnell and Jens-Uwe Grabow**

Angew. Chem. Int. Ed. **2006**, 45, 3465-3470



Arbeitsgruppen des PCI

Prof. Caro

Nanostrukturierte Wirt/Gast-
Systeme und Funktionsschichten

- PD Dr. Wark
- Dr. Oekermann
- Dr. Feldhoff

Prof. Heitjans

Dynamische und kinetische
Prozesse in Festkörpern

- NMR-Spektroskopie
- Impedanz-Spektroskopie
- Mechanochemie

Prof. Becker

Kleinste Festkörperteilchen und
Mikrowellenspektroskopie

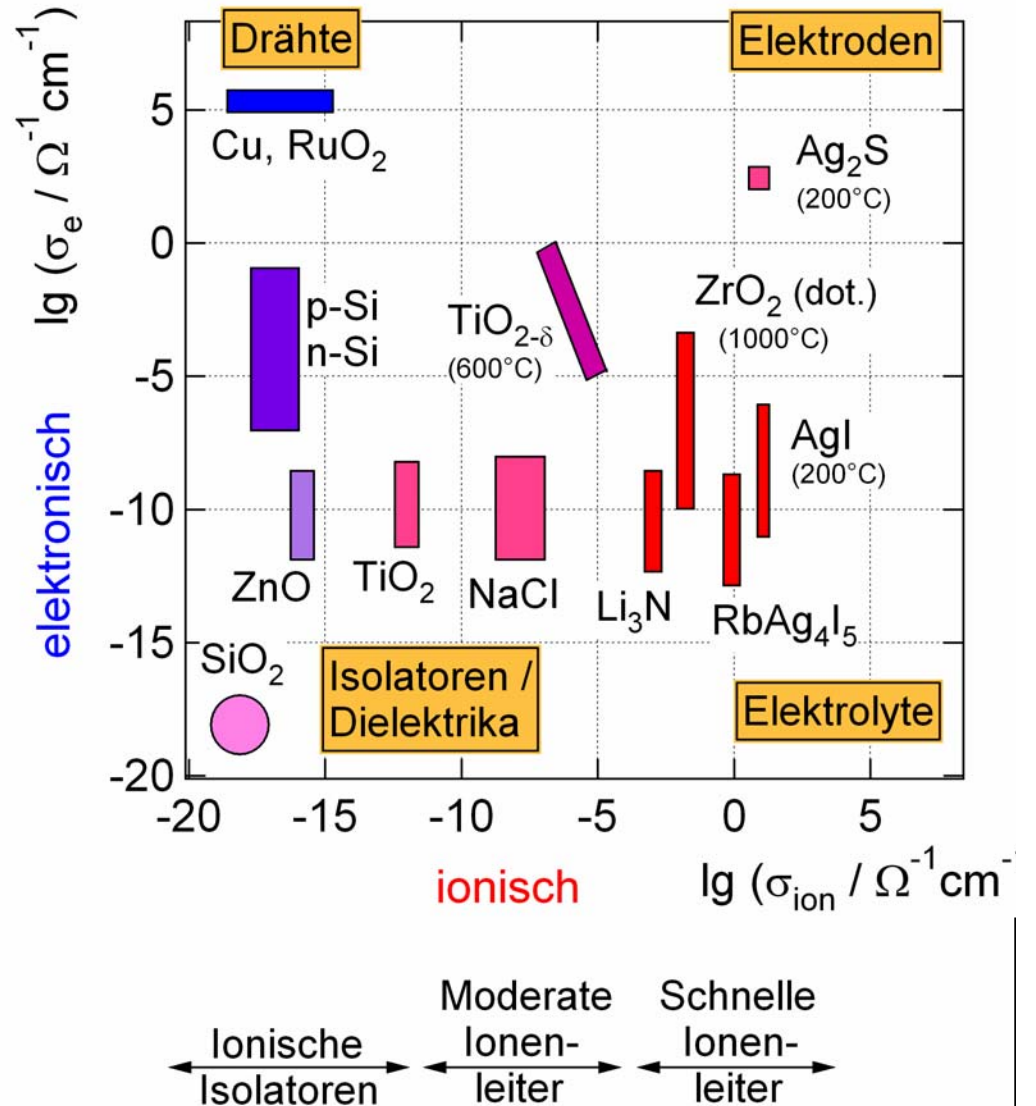
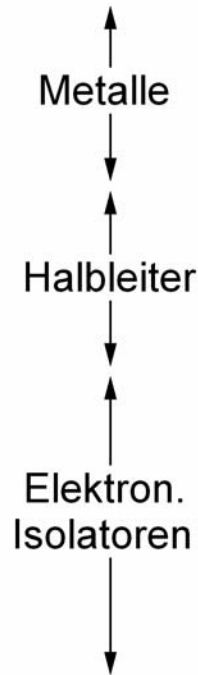
- PD Dr. Grabow

Prof. Imbihl

Dynamische Prozesse
an Oberflächen

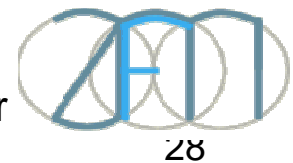
The forgotten dimension

Nano-Engineering
 =
 Nano-Electronics
 + ...
 Nano-Ionics + ...

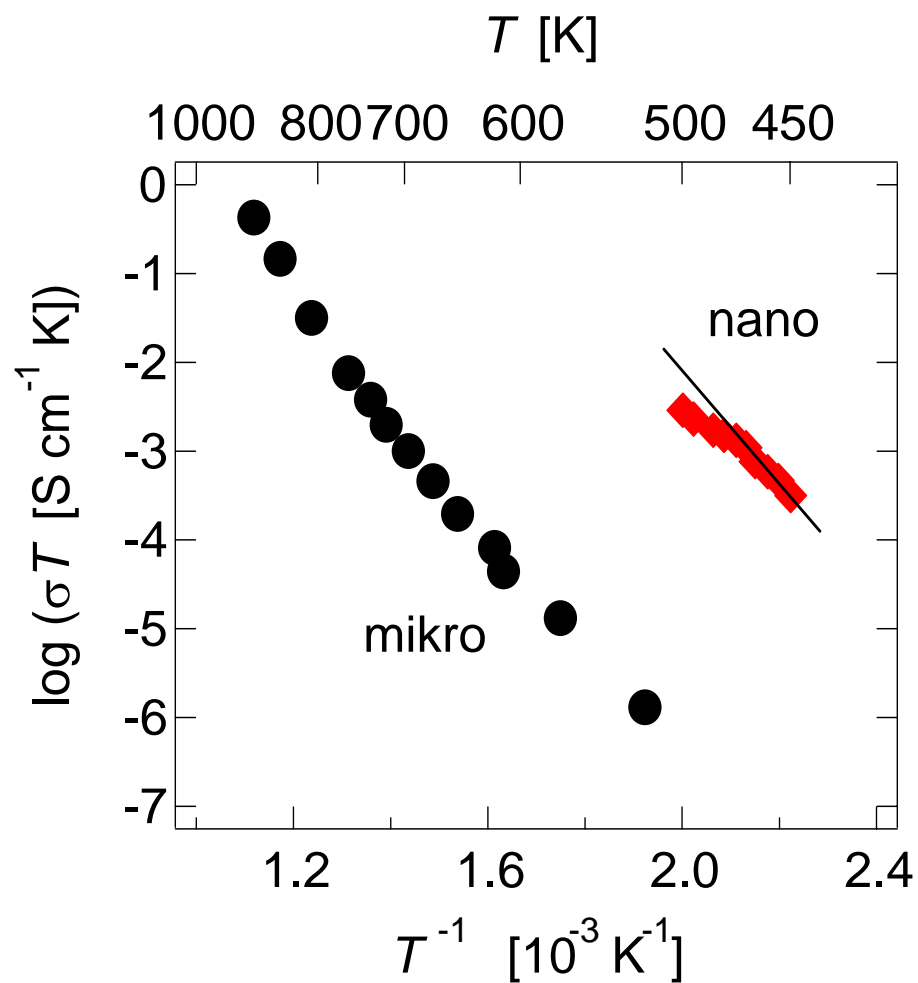


Elektrische Leitfähigkeit =
 elektronische und ionische

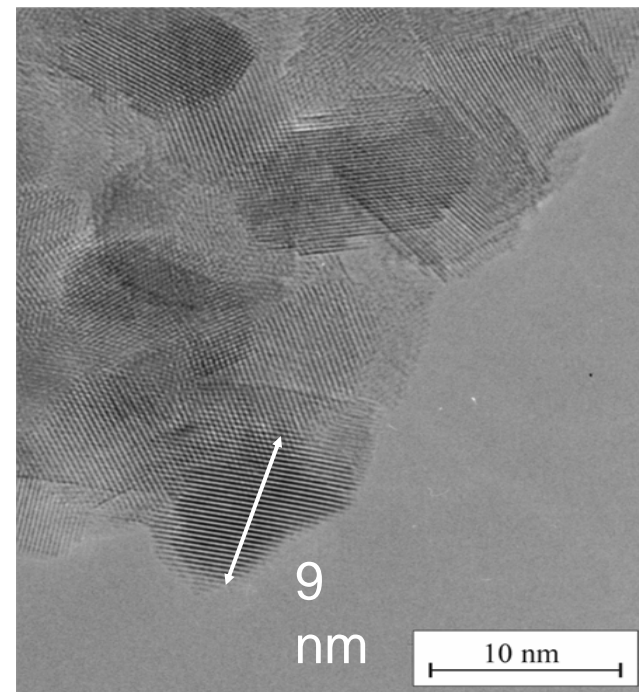
P. Heitjans, Sprecher Zentrum für Festkörperchemie und Neue Materialien (ZFM)
 Institut für Physikalische Chemie und Elektrochemie, Leibniz Universität Hannover



Nano-Ionics: F⁻ ion conductivity of nanocrystalline and microcrystalline CaF₂



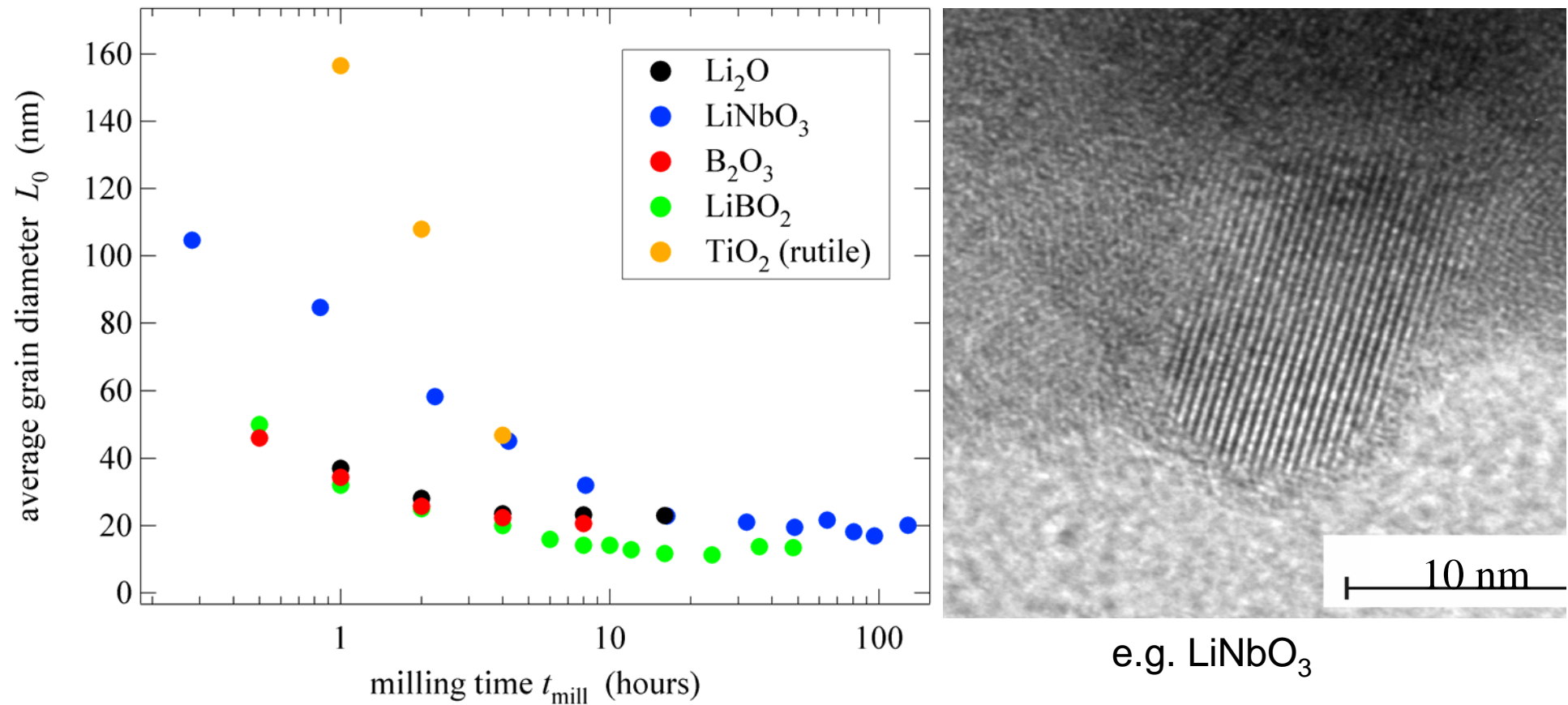
W. Puijn, P. Heitjans et al.,
Solid State Ionics 131(2000)159



Nanokristallines CaF₂
besitzt um 4 GO
höhere Leitfähigkeit

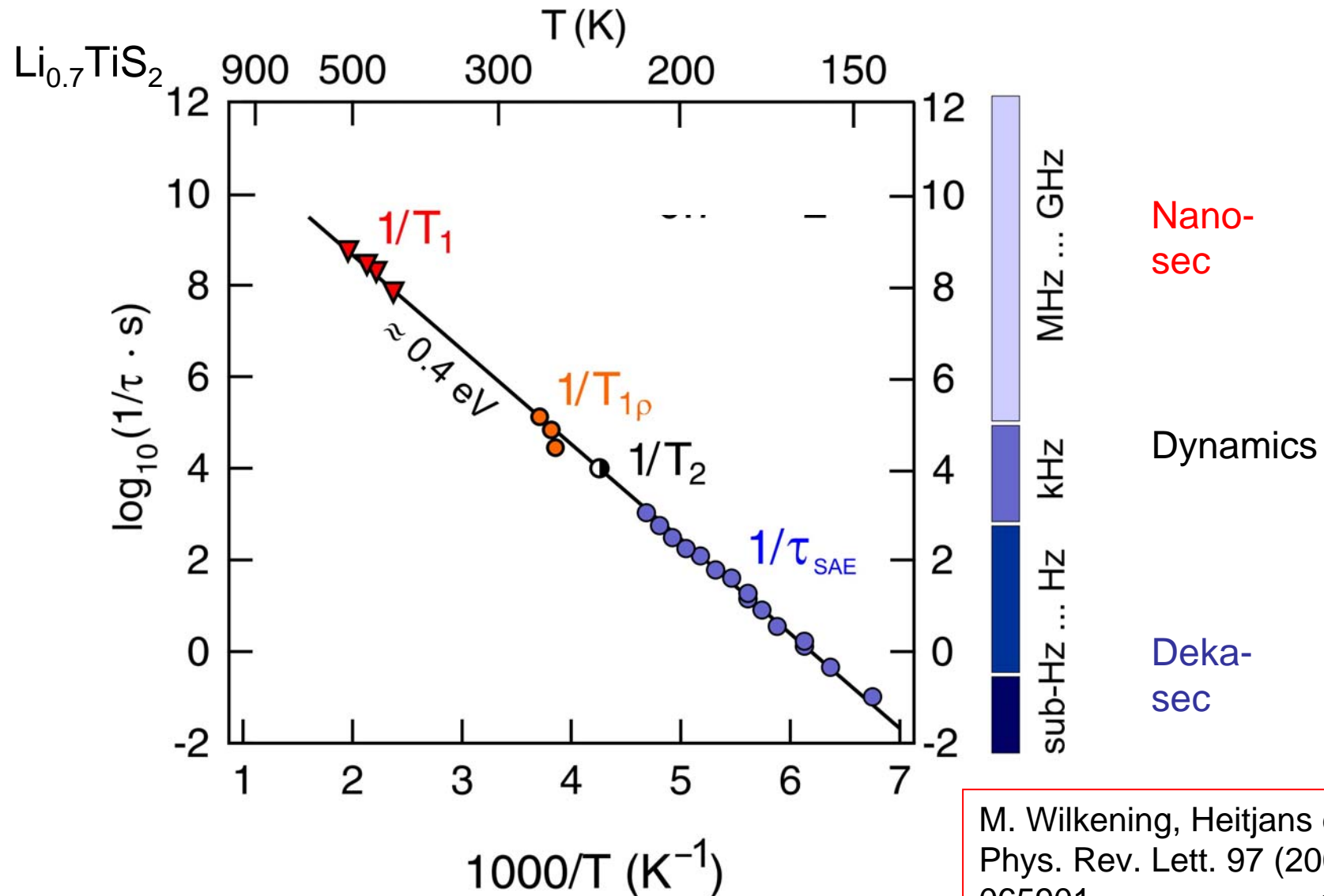
Abscheidung durch
Edelgaskondensation

Into the nano range by **ball milling**



P. Heitjans, S. Indris,
J. Phys.: Condens. Matter
15 (2003) R1257

Motional correlation rates **over 10 decades via NMR** probing one single process



M. Wilkening, Heitjans et al.
Phys. Rev. Lett. 97 (2006)
065901 31

Arbeitsgruppen des PCI

Prof. Caro

Nanostrukturierte Wirt/Gast-
Systeme und Funktionsschichten

- PD Dr. Wark
- Dr. Oekermann
- Dr. Feldhoff

Prof. Heitjans

Dynamische und kinetische
Prozesse an Festkörpern

Prof. Becker

Kleinste Festkörperteilchen und
Mikrowellenspektroskopie

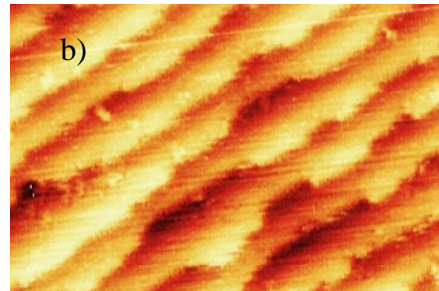
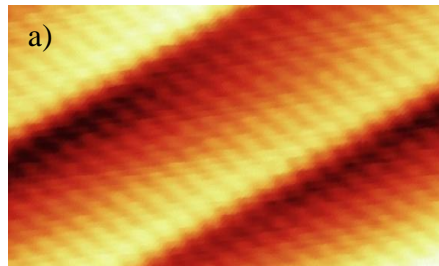
- Dr. Grabow

Prof. Imbihl

Dynamische Prozesse
an Oberflächen. Surface Science

Surface Science: NH₃-Induced Step Meandering on Pt(443)

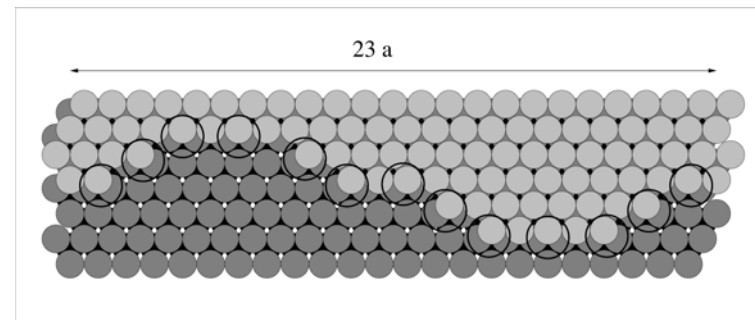
Restructuring by interaction
NH₃ in catalysis (STM)



$p_{\text{NH}_3} = 1 \times 10^{-6}$ mbar
(a) clean surface
(b) 15 min

Imbihl

Creation of new step sites and with
kink sites due to step meandering



Energy cost for restructuring ΔE_{Pt} :

$$J_{\text{Pt}-\text{Pt}} = \frac{\Delta H_{\text{sub}}(\text{Pt})}{12N_A} = 47 \text{ kJ/mol}$$

8 broken bonds (4 per row)

$$\Delta E_{\text{Pt}} = 8 \times 47 \text{ kJ/mol} = 376 \text{ kJ/mol}$$